

NATIONAL TECHNICAL UNIVERSITY OF ATHENS

---

SCHOOL OF ELECTRICAL AND COMPUTER ENGINEERING



ELECTROMAGNETIC FIELDS B – PROBLEM 2

ELECTROSTATIC GRATING OF NANORODS

## **ΕΡΩΤΗΜΑ (Α) – ΠΡΟΒΛΗΜΑ ΗΛΕΚΤΡΟΣΤΑΤΙΚΗ ΣΚΕΔΑΣΗΣ**

Έστω κύλινδρος ακτίνας  $a$  με διηλεκτρική σταθερά  $\epsilon > 1$ , με άξονα παράλληλο στον άξονα  $\hat{z}$ . Το επιβαλλόμενο πεδίο είναι

$$\mathbf{E}_{\text{back}} = E_0 (\hat{x} \cos \theta + \hat{y} \sin \theta).$$

Στο επίπεδο  $xy$ , το δυναμικό έξω και μέσα από τον κύλινδρο γράφεται σε πολικές συντεταγμένες  $(r, \phi)$  γύρω από το κέντρο του:

- Έξω (κενό): κρατώντας μόνο την αρμονική  $m = 1$  (το μοναδικό διεγειρόμενο από ομογενές πεδίο):

$$V_{\text{out}}(r, \phi) = -E_0 r \cos(\phi - \theta) + A \frac{a^2}{r} \cos(\phi - \theta).$$

- Μέσα (υλικό με επιτρεπτότητα  $\epsilon$ ):

$$V_{\text{in}}(r, \phi) = B r \cos(\phi - \theta).$$

Επιβάλλουμε συνοριακές συνθήκες στο  $r = a$ :

- Συνέχεια δυναμικού:  $V_{\text{out}} = V_{\text{in}}$ ,
- Συνέχεια  $\hat{n} \cdot D$ :  $\epsilon_0 \partial_r V_{\text{out}} = \epsilon \epsilon_0 \partial_r V_{\text{in}}$ .

Λύνοντας:

$$A = E_0 \frac{\epsilon - 1}{\epsilon + 1} \equiv \xi E_0 \text{ και } B = -\frac{2}{\epsilon + 1} E_0$$

$$A \rho a \Rightarrow V_{\text{out}} = -E_0 r \cos(\phi - \theta) + \xi E_0 \frac{a^2}{r} \cos(\phi - \theta) \text{ και } V_{\text{in}} = -\frac{2}{\epsilon + 1} E_0 r \cos(\phi - \theta)$$

$$(ισχύει \mathbf{E} = -\nabla V)$$

## ΕΡΩΤΗΜΑ (Β) – ΜΟΡΦΗ ΥΝΟΛΙΚΟΥ ΣΚΕΔΑΖΟΜΕΝΟΥ ΗΛΕΚΤΡΟΣΤΑΤΙΚΟΥ ΔΥΝΑΜΙΚΟΥ ΚΑΙ ΔΥΝΑΜΙΚΟΥ ΣΤΟ ΕΣΩΤΕΡΙΚΟ ΤΟΥ ΚΥΛΙΝΔΡΟΥ

Τα κέντρα είναι στα  $(0, 2nb)$  με  $n \in \mathbb{Z}$ . Για κάθε κύλινδρο ορίζουμε τοπικές πολικές  $(r_n, \phi_n)$ .

Με την υπόθεση της εκφώνησης ότι η παρουσία των άλλων κυλίνδρων δεν εισάγει ανώτερες αξιμουθιακές αρμονικές (μένουμε στο  $m = 1$  για τον καθένα), το συνολικό σκεδαζόμενο δυναμικό γράφεται ως άθροισμα διπόλων ανά κύλινδρο, με ίδιους συντελεστές σε όλη τη διάταξη, αλλά με τοπικές γωνίες:

$$V_{\text{scat}}(x, y) = \sum_{n \in \mathbb{Z}} \frac{a^2}{r_n} [A_x \cos \phi_n + A_y \sin \phi_n]$$

$$\text{όπου } \cos \phi_n = \frac{x}{r_n}, \sin \phi_n = \frac{y - 2nb}{r_n} \text{ και } r_n = \sqrt{x^2 + (y - 2nb)^2}$$

Το εσωτερικό δυναμικό σε κάθε κύλινδρο παραμένει γραμμικό.

$$A\rho\alpha \Rightarrow V_{\text{in}}^{(0)}(r, \phi) = B_x r \cos \phi + B_y r \sin \phi \Rightarrow V_{\text{in}}^{(0)}(x, y) = B_x x + B_y y$$

## ΕΡΩΤΗΜΑ (Γ) – ΣΕΙΡΕΣ LAURENT

Χρησιμοποιούμε μιγαδική αναπαράσταση  $z = re^{i\phi} = x + iy$  και κέντρα στο  $z_n = i 2nb$ .

Για  $|z| < |z_n|$  ισχύει

$$\frac{1}{z - z_n} = -\frac{1}{z_n} \sum_{m=0}^{\infty} \left(\frac{z}{z_n}\right)^m$$

Παίρνοντας πραγματικό/φανταστικό μέρος και σημειώνοντας ότι:

$$\frac{\cos \phi_n}{r_n} = \Re \left( \frac{1}{z - z_n} \right) \text{ και } \frac{\sin \phi_n}{r_n} = \Im \left( \frac{1}{z - z_n} \right)$$

καταλήγουμε για  $r < 2|n|b$  σε σειρές της μορφής:

$$\frac{\cos \phi_n}{r_n} = \sum_{m=1}^{\infty} C_{m,n} r^{m-1} \cos(m\phi) + D_{m,n} r^{m-1} \sin(m\phi)$$

$$\frac{\sin \phi_n}{r_n} = \sum_{m=1}^{\infty} \tilde{C}_{m,n} r^{m-1} \cos(m\phi) + \tilde{D}_{m,n} r^{m-1} \sin(m\phi)$$

με συντελεστές  $C_{m,n}, D_{m,n} \propto (2 | n | b)^{-(m+1)}$  και εναλλασσόμενα πρόσημα λόγω  $\arg z_n = \pm\pi/2$ . Η γραφή με Laurent  $\sim r^{-m}$  προκύπτει αν επεκτείνουμε για  $r > 2|n|b$ . Και οι δύο μορφές είναι συμβατές και χρήσιμες ανάλογα με την περιοχή σύγκλισης: εδώ μας χρειάζεται η επέκταση για  $r < a < b$ .

## **ΕΡΩΤΗΜΑ (Δ) – ΕΦΑΡΜΟΓΗ ΣΥΝΟΡΙΑΚΩΝ ΣΥΝΘΗΚΩΝ ΓΙΑ ΤΗΝ ΕΥΡΕΣΗ ΤΗΣ ΜΟΝΑΔΙΚΗΣ ΛΥΣΗΣ**

Λόγω περιοδικότητας, όλοι οι κύλινδροι μοιράζονται τους ίδιους συντελεστές  $(A_x, A_y)$  έξω και  $(B_x, B_y)$  μέσα. Η παρουσία των υπολοίπων αλλάζει το τοπικό πεδίο στο κέντρο κάθε κυλίνδρου:

- Η x-συνιστώσα μειώνεται
- Η y-συνιστώσα ενισχύεται

Έπειτα από άθροιση των πεδίων στο κέντρο με δύο συμμετρικούς γείτονες ανά n προκύπτει κλειστή μορφή με γνωστό άθροισμα πλέγματος:

$$S = 2a^2 \sum_{n=1}^{\infty} \frac{1}{(2nb)^2} = \frac{a^2}{b^2} \frac{\pi^2}{12}$$

Θέτοντας  $\xi = \frac{\varepsilon-1}{\varepsilon+1}$  (και  $\xi \rightarrow 1$  για PEC) και γράφοντας  $E_{0x} = E_0 \cos \theta, E_{0y} = E_0 \sin \theta$ , το αυτοσυνεπές σύστημα δίνει:

$$A_x = \frac{\xi}{1 + \xi S} E_{0x} \text{ και } A_y = \frac{\xi}{1 - \xi S} E_{0y}$$

Το εσωτερικό δυναμικό σε κάθε κύλινδρο είναι:

$$V_{in}^{(n)}(x, y) = B_x(x - 0) + B_y(y - 2nb), B_x = -\frac{2}{\varepsilon + 1} (E_{0x} - SA_x), B_y = -\frac{2}{\varepsilon + 1} (E_{0y} + SA_y)$$

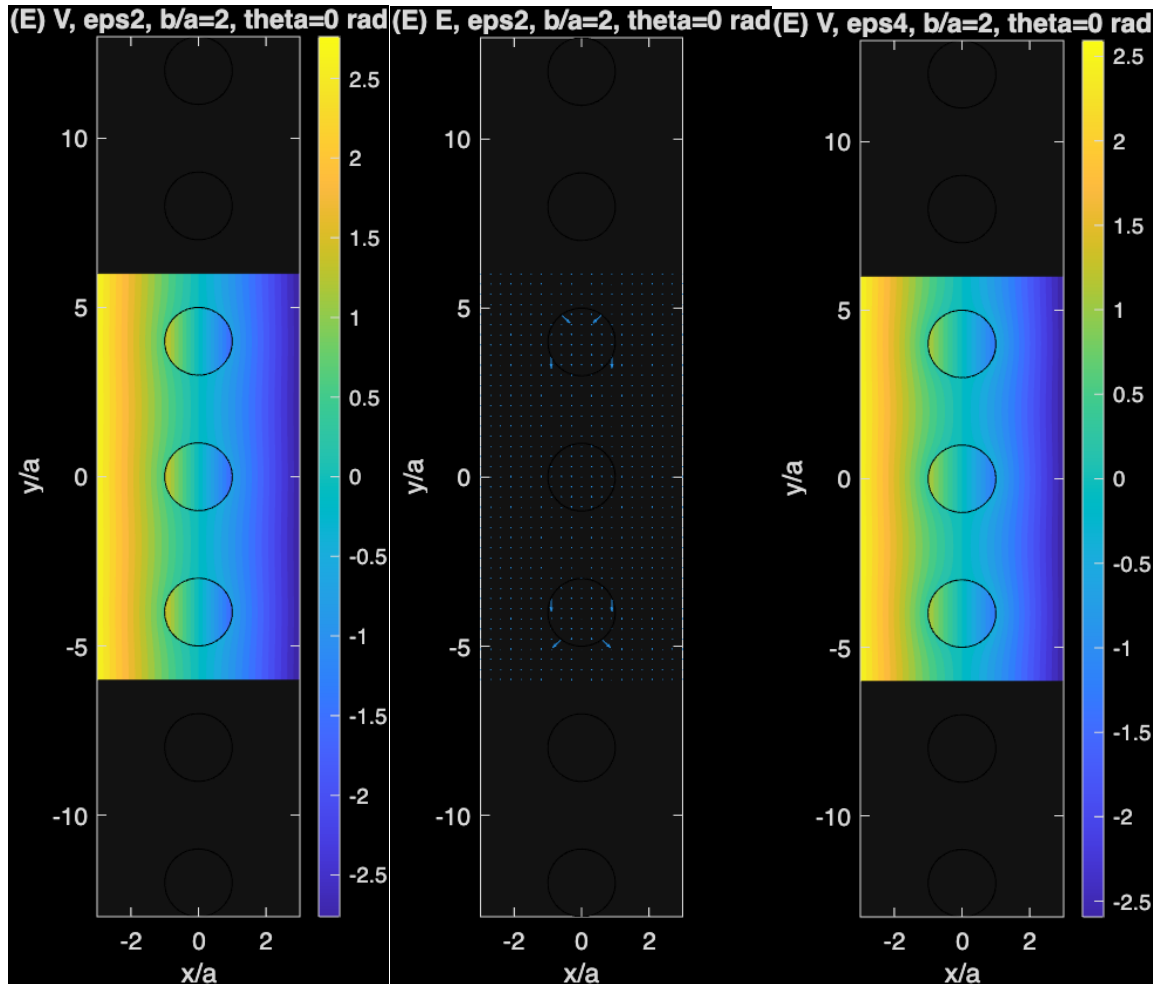
Το συνολικό δυναμικό σε κάθε σημείο  $(x, y)$  (εκτός εσωτερικού ενός συγκεκριμένου κυλίνδρου) είναι

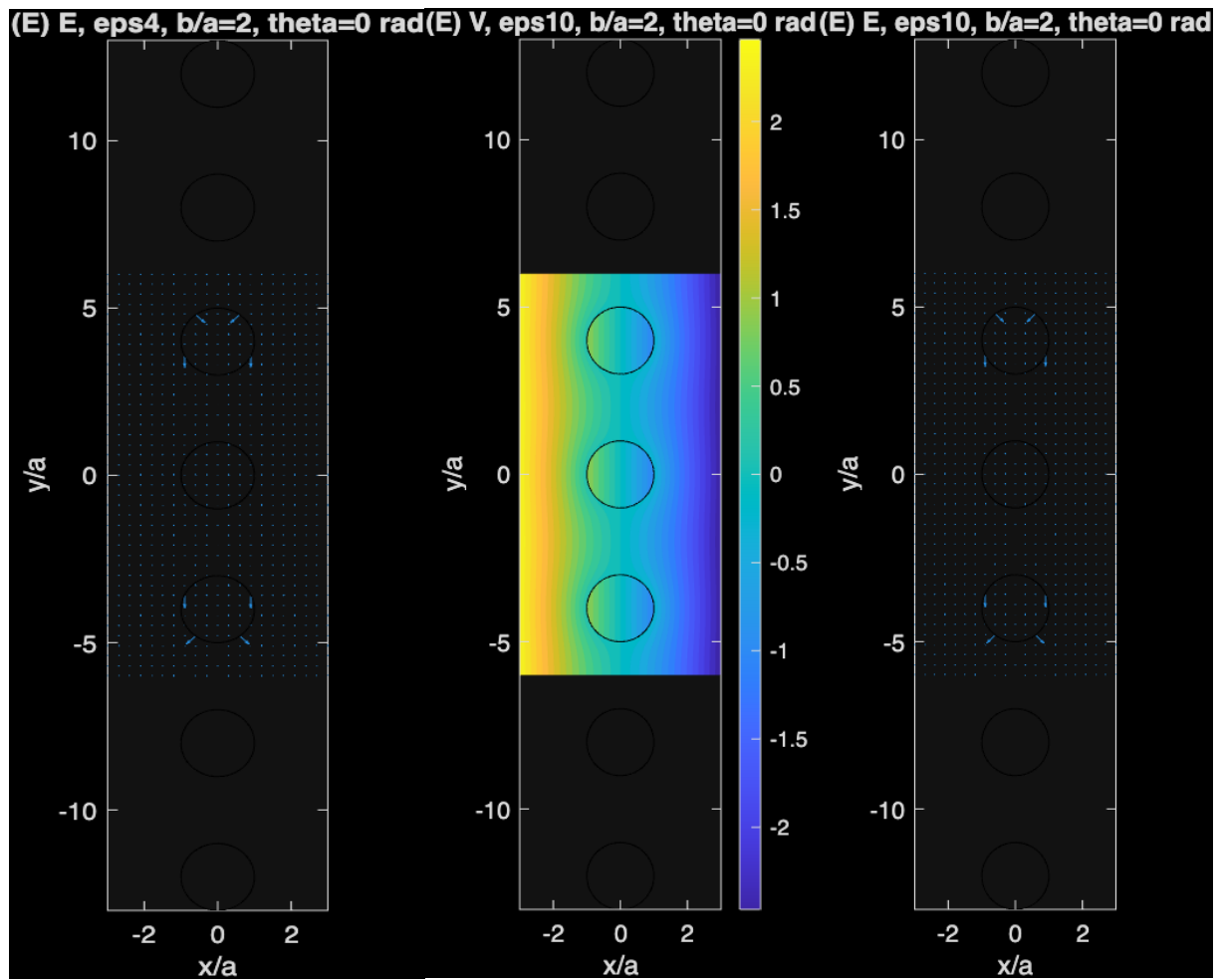
$$V(x, y) = -E_{0x}x - E_{0y}y + \sum_{n \in \mathbb{Z}} a^2 [A_x \frac{x}{r_n^2} + A_y \frac{y - 2nb}{r_n^2}], r_n^2 = x^2 + (y - 2nb)^2$$

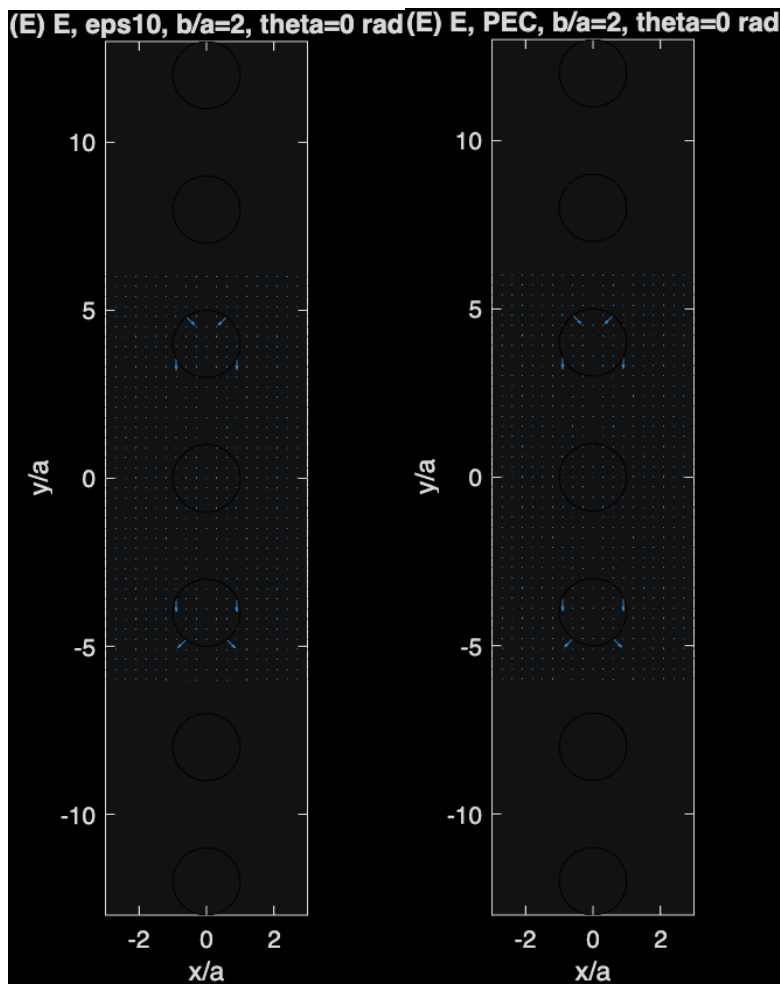
ενώ μέσα σε έναν κύλινδρο, αντικαθιστούμε τον όρο του  $n$  με το γραμμικό  $V_{in}^{(n)}$  για ομαλότητα και εφαρμογή των συνθηκών διεπιφάνειας. Το πεδίο είναι  $E = -\nabla V$ . Η παραπάνω λύση ικανοποιεί τις συνοριακές συνθήκες (συνέχεια  $V$  και  $\hat{n} \cdot \mathbf{D}$ ) υπό την παραδοχή  $m = 1$ .

## **ΕΡΩΤΗΜΑ (Ε) – ΣΧΕΔΙΑΣΗ ΗΛΕΚΤΡΙΚΟΥ ΚΑΙ ΔΥΝΑΜΙΚΟΥ ΠΕΔΙΟΥ ΣΤΟ ΕΠΙΠΕΔΟ X-Y (1)**

Στις παρακάτω γραφικές παραστάσεις απεικονίζονται το ηλεκτρικό και το δυναμικό πεδίο στο επίπεδο X-Y, για 3 υλικά με επιτρεπτότητες  $\epsilon = 2, 4, 10$ , καθώς και τέλεια αγώγιμους κυλίνδρους. Θεωρήθηκαν:  $b = 2a$  και  $\theta = 0$ .



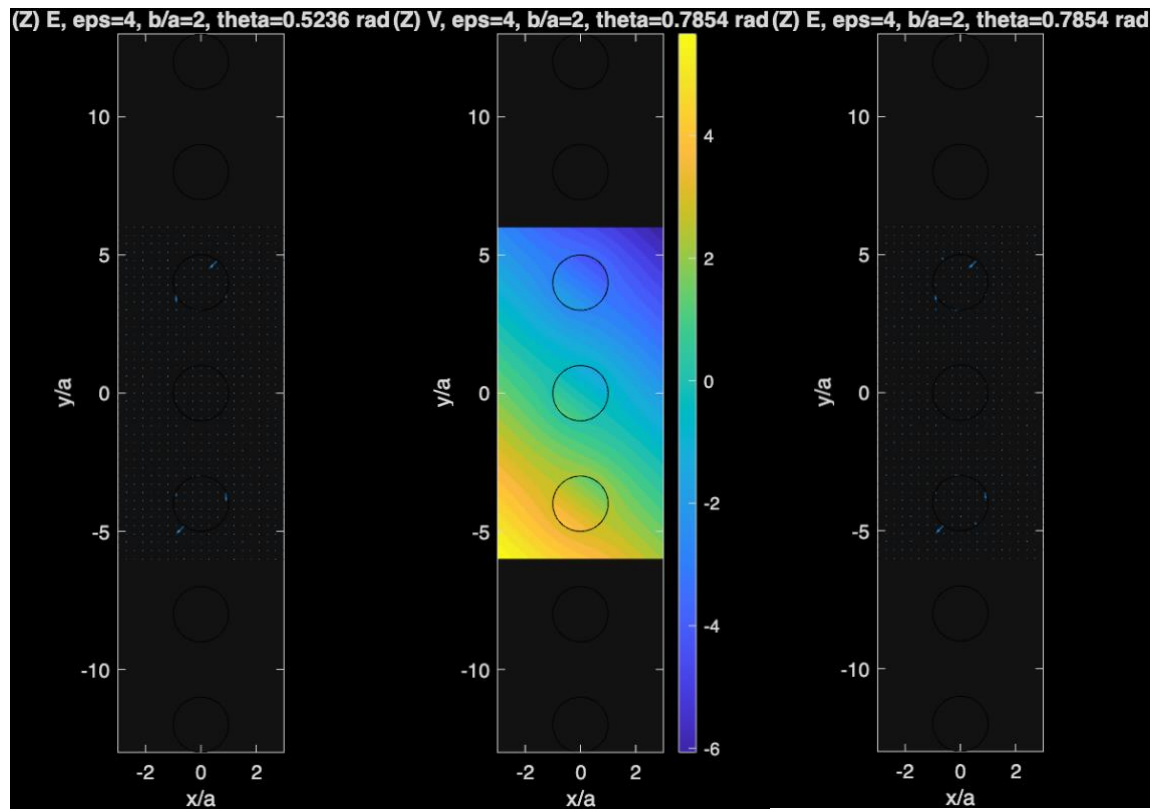
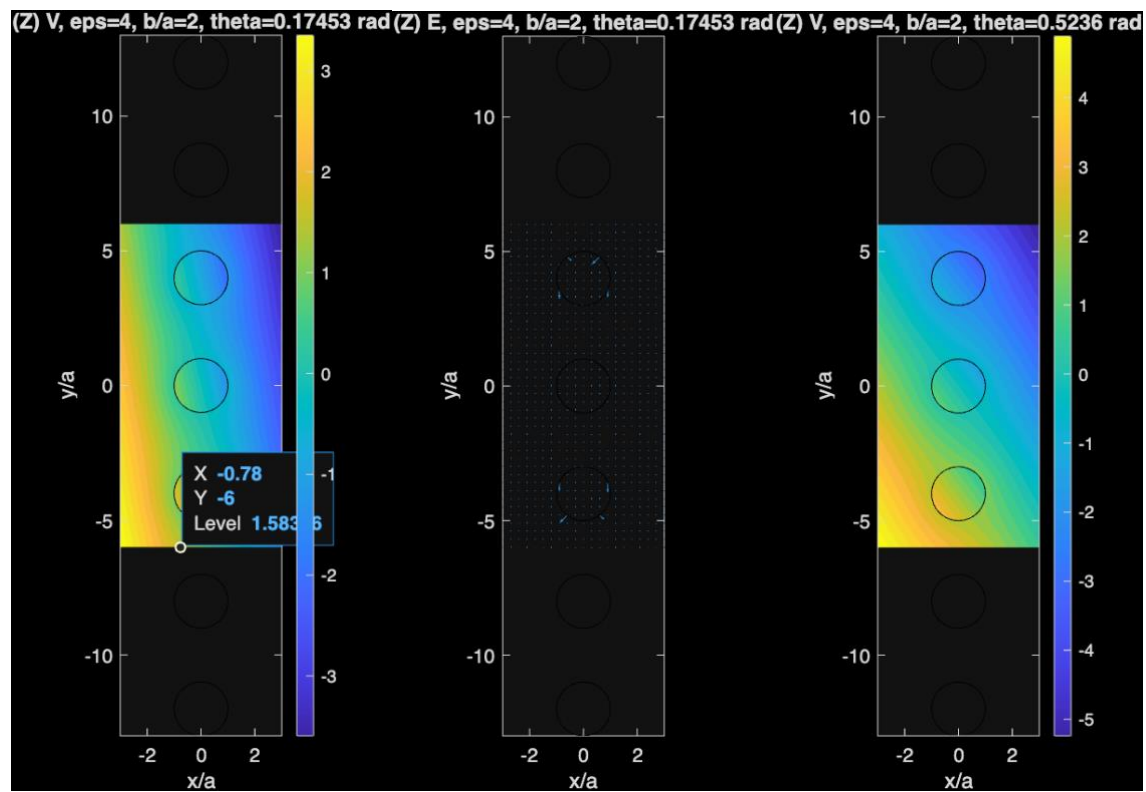


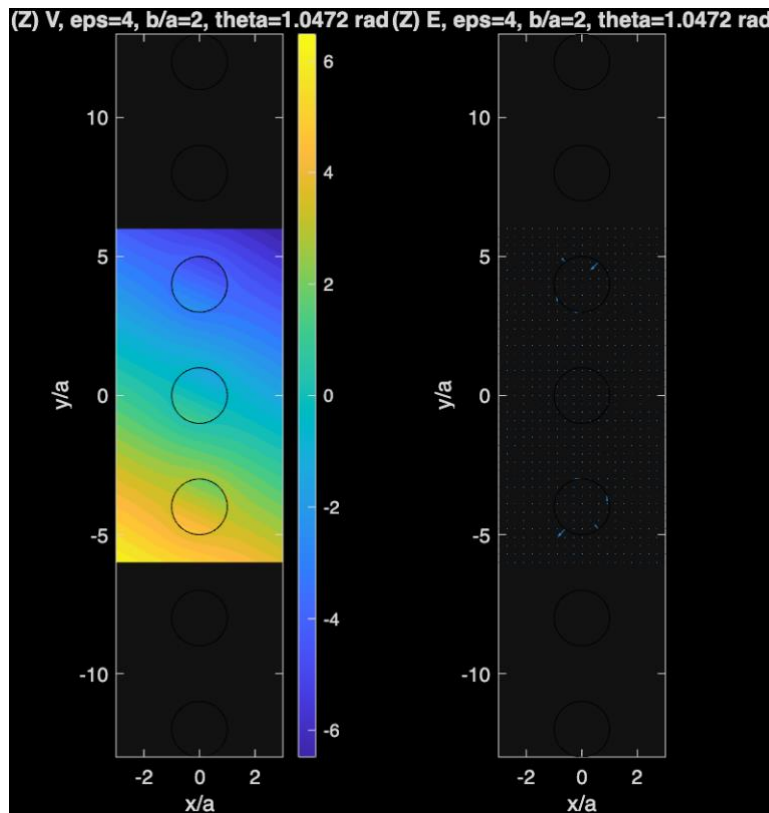


Όπως παρατηρούμε από τις πιο πάνω γραφικές παραστάσεις παραπάνω, με  $\theta = 0$  το πεδίο είναι οριζόντιο. Αυξάνοντας την επιτρεπτότητα  $\epsilon$ , δηλαδή για όχι PEC υλικό, ο εξωτερικός όρος  $A_x = \frac{\xi}{1+\xi} E_0$  προσεγγίζει το PEC όριο ( $\xi \rightarrow 1$ ) και το πεδίο ολισθαίνει γύρω από τους κυλίνδρους με όλο και ισχυρότερη παραμόρφωση.

## ΕΡΩΤΗΜΑ (Ζ) – ΣΧΕΔΙΑΣΗ ΗΛΕΚΤΡΙΚΟΥ ΚΑΙ ΔΥΝΑΜΙΚΟΥ ΠΕΔΙΟΥ ΣΤΟ ΕΠΙΠΕΔΟ X-Y (2)

Στις παρακάτω γραφικές παραστάσεις απεικονίζονται το ηλεκτρικό και το δυναμικό πεδίο στο επίπεδο X-Y, για γωνίες  $\theta = 10^\circ, 30^\circ, 45^\circ, 60^\circ$ . Θεωρήθηκαν:  $b = 2a$  και  $\epsilon = 4$ .

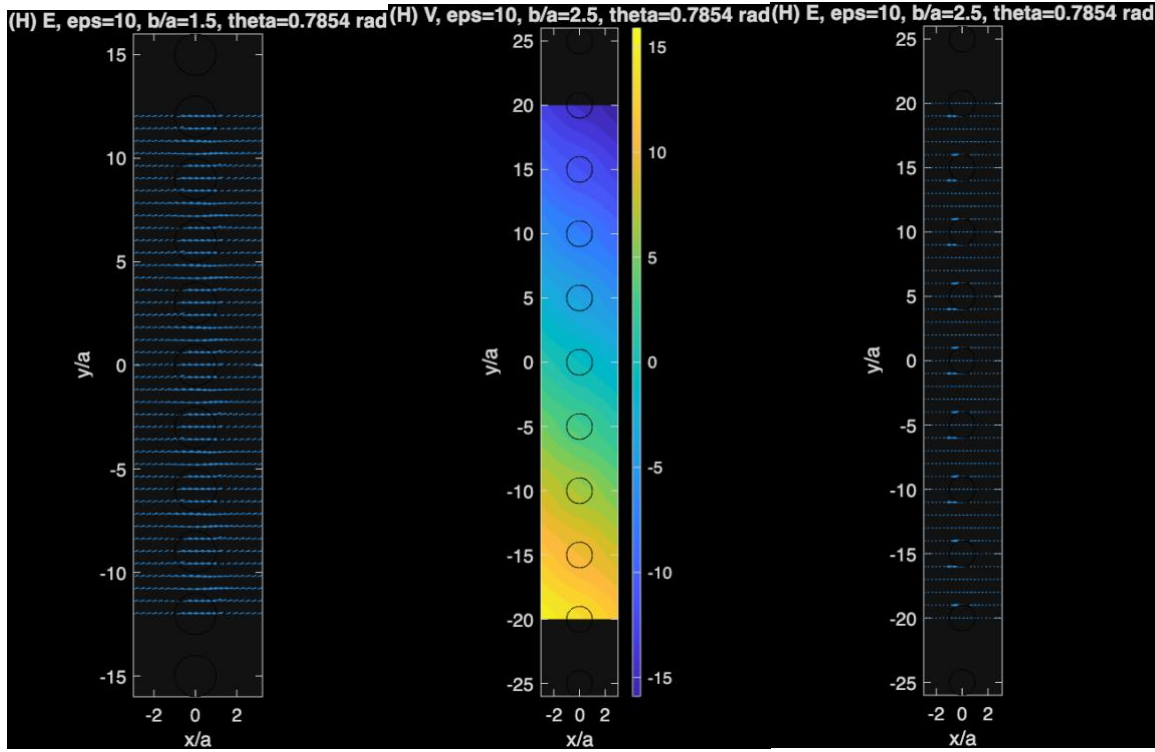
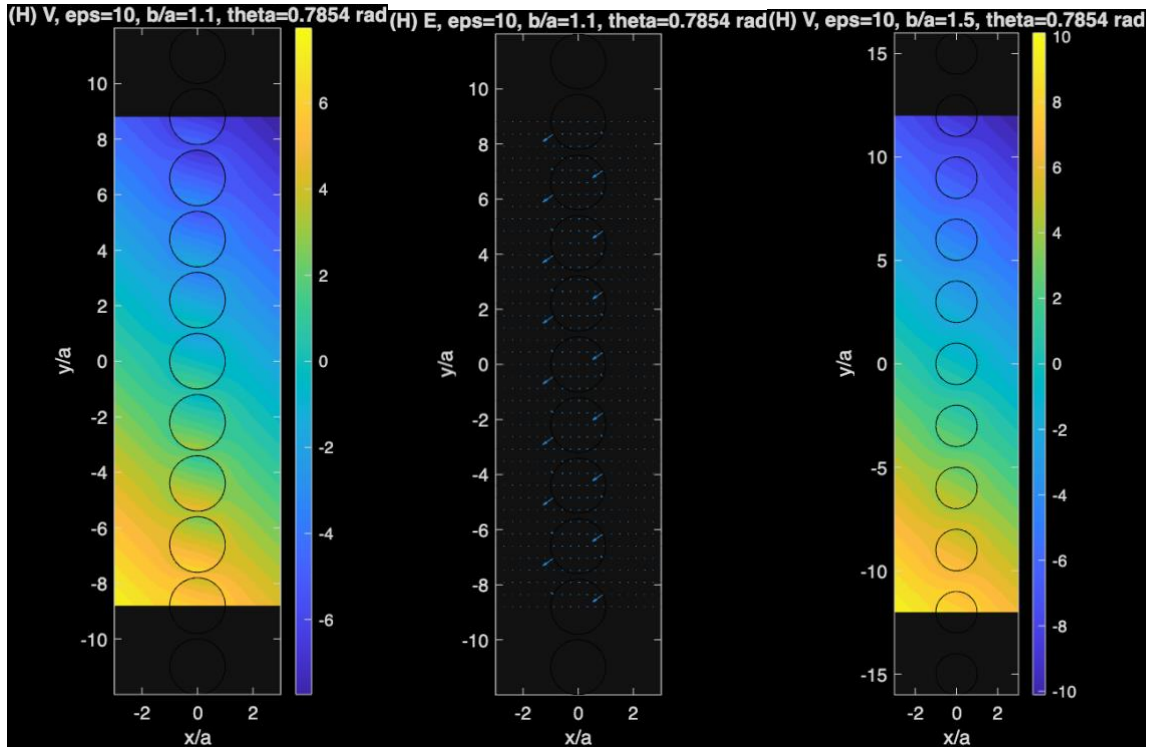


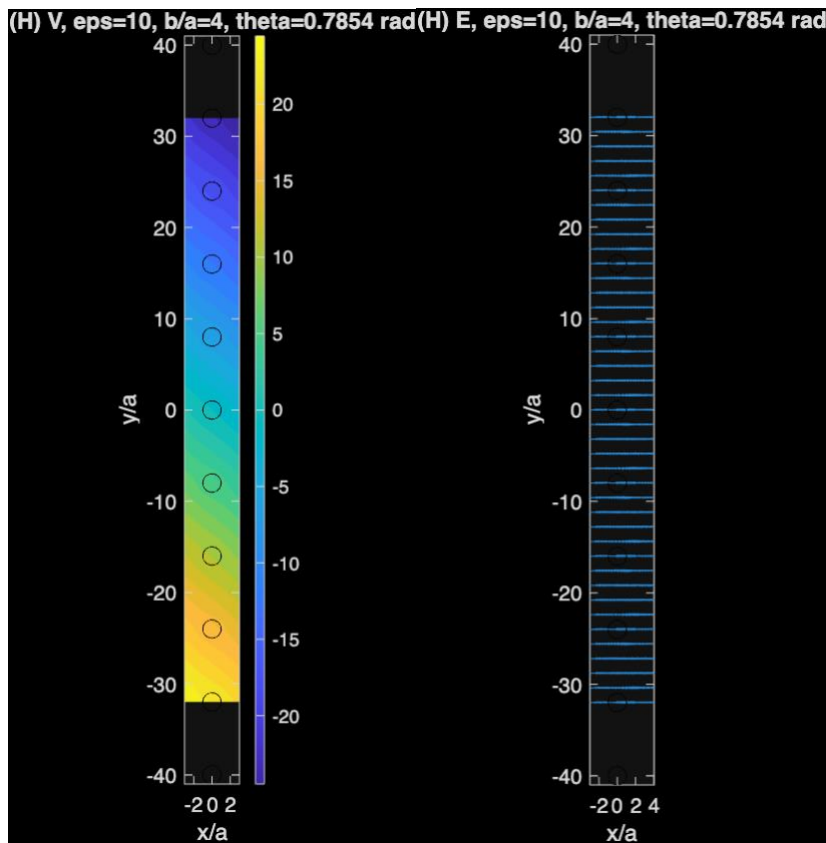


Όπως παρατηρούμε από τις παραπάνω γραφικές παραστάσεις, η προβολή κατά τον άξονα  $y$ , διεγείρει τον ενισχυμένο κλάδο  $A_y = \frac{\xi}{1-\xi} E_{0y}$ . Όσο η γωνία  $\theta$  μεγαλώνει, οι δυναμικές καμπύλες κλίνουν και εμφανίζεται ισχυρότερη εκτροπή κατά την κατεύθυνση της διάταξης.

## ΕΡΩΤΗΜΑ (H) – ΣΧΕΔΙΑΣΗ ΗΛΕΚΤΡΙΚΟΥ ΚΑΙ ΔΥΝΑΜΙΚΟΥ ΠΕΔΙΟΥ ΣΤΟ ΕΠΙΠΕΔΟ X-Y (3)

Στις παρακάτω γραφικές παραστάσεις απεικονίζονται το ηλεκτρικό και το δυναμικό πεδίο στο επίπεδο X-Y, για περιόδους  $b = 1.1a, 1.5a, 2.5a, 4a$ . Θεωρήθηκαν:  $\theta = \pi/4$  και  $\epsilon = 10$ .





Όπως φαίνεται από τις γραφικές παραστάσεις άνωθεν, ο παράγοντας  $S = \frac{a^2}{b^2} \frac{\pi^2}{12}$  ελέγχει όλη τη μη-τοπικότητα. Παρατηρούμε πως για μικρά  $\frac{b}{a}$ , λόγω της αντιστρόφως ανάλογης σχέσης του  $S$  με τα  $\frac{b}{a}$ , έχουμε: όταν  $\frac{b}{a} = 1.1$ , το  $S$  είναι μεγάλο, άρα υπάρχει ισχυρή αλληλεπίδραση. Για πιο αραιές διατάξεις, δηλαδή για  $\frac{b}{a} = 1.5, 2.5$  και  $4$ , το  $S$  είναι μικρό, άρα επανερχόμαστε κοντά στη μοναδική λύση του κυλίνδρου.